МИКРОБИОЛОГИЯ

УДК 579.222.2:579.695

ВОЗМОЖНОСТЬ ИСПОЛЬЗОВАНИЯ ШТАММА-ДЕСТРУКТОРА ФЕНОЛА И 2,4-ДИХЛОРФЕНОЛА, *RHODOCOCCUS ERYTHROPOLIS* 17S, ДЛЯ ОЧИСТКИ ПРОМЫШЛЕННЫХ СТОКОВ

В.В. Коробов*, Е.Ю. Журенко, Н.В. Жарикова, Т.Р. Ясаков, Т.В. Маркушева

Уфимский Институт биологии РАН, Россия, 450054, г. Уфа, просп. Октября, д. 69
*e-mail: vacikk@mail.ru

Описан новый штамм-деструктор фенола и 2,4-дихлорфенола (2,4-ДХФ), *Rhodococcus erythropolis* 17S, выделенный из почвы химического предприятия, имеющего длительную историю контакта с фенолом и его производными. Идентификация штамма проведена с учетом морфометрических, культурально-морфологических и физиолого-биохимических признаков, а также результатов сравнительного анализа последовательности гена 16S рРНК. Исследован рост периодической культуры R. erythropolis 17S в условиях использования фенола и 2,4-ДХФ в качестве источников углерода и энергии. Содержание фенола в культуральной жидкости снижалось к 4-м сут на 55%, а 2,4-ДХФ — к 22-м сут на 47% от контроля. Выявлена возможность применения R. erythropolis 17S для утилизации фенола в промышленных стоках нефтехимического производства и производства дубильных экстрактов.

Ключевые слова: Rhodococcus erythropolis, штамм-деструктор, фенол, 2,4-дихлорфенол, удаление отходов, сточные воды

Фенол и его хлорированные производные являются загрязнителями промышленных стоков химических и нефтеперерабатывающих заводов, обогатительных фабрик цветной металлургии, производств переработки древесины, сланцев, торфа, бурого и каменного угля. К настоящему моменту выявлен ряд микроорганизмов, способных использовать в качестве источников углерода и энергии фенол и 2,4-дихлорфенол (2,4-ДХФ), в том числе: Achromobacter sp. [1], Agromyces sp. IBRB-34DCP [2], Pseudomonas sp. EST1001 [3, 4], Pseudomonas sp. JS150 [5] и Rhodococcus erythropolis [6].

В ряде работ было отмечено, что бактерии рода *Rhodococcus* обладают широким метаболическим потенциалом и способны к росту в присутствии различных органических субстратов в концентрациях, не всегда потребляемых другими микробами [7, 8]. Вместе с тем деструкция фенола и его хлорпроизводных представителями рода *Rhodococcus* отмечена лишь в единичных публикациях.

Целью настоящей работы было выявление свойств нового штамма *Rhodococcus erythropolis* 17S—деструктора фенола и 2,4-ДХФ.

Материалы и методы

Штамм *R. erythropolis* 17S был выделен из пробы почвы расположенного в г. Уфа (Республика Башкортостан) предприятия, производившего и использовавшего фенол и его хлорпроизводные в производственных циклах более полувека.

Выделение и идентификация штамма по признакам морфологической, морфометрической, физи-

ологической и биохимической дифференциации. Выделение чистой культуры R. erythropolis 17S было проведено на селективной среде следующего состава: $(NH_4)_2SO_4 - 2,6$ г/л; $KH_2PO_4 - 2,4$ г/л; K_2 HPO $_2$ • 3 H_2 O – 5,6 г/л; MgSO $_4$ • 7 H_2 O – 1,0 г/л; раствор микроэлементов -0.1 мл/л; вода дистиллированная с добавлением 100 мг/л фенола или 2,4-ДХФ в качестве единственного источника углерода и энергии. Культуральные и физиолого-биохимические свойства изолята определяли согласно методическому руководству под ред. А.И. Нетрусова [9]. Морфометрические и морфологические характеристики были получены с помощью атомно-силовой микроскопии на сканирующем зондовом микроскопе Solver PRO-M (NT-MDT, Россия) [10]. Сканирование объектов вели в контактном режиме по методу постоянной силы с использованием кантилеверов CSG01 с радиусом кривизны зонда 10 нм. Изображения были получены с помощью двухпроходной методики съемки.

Рост культуры в жидкой питательной среде и его контроль. Посевной материал получали выращиванием бактерий в разведенном в 8 раз мясопептонном бульоне при температуре 30° С. Далее культуру засевали в количестве 1 мл в жидкую среду следующего состава (Γ/n) : NH_4Cl-1 ; K_2HPO_4-5 ; $MgSO_4 \cdot 7H_2O - 0.05$; $FeSO_4 \cdot 7H_2O - 0.005$; $CuSO_4 \cdot 5H_2O - 0.001$; $ZnSO_4 - 0.008$; фенол $(2.4-ДX\Phi) - 0.1$, после чего инкубировали в термостатируемых орбитальных встряхивателях УВМТ-12-250 (Элион, СССР) при 115-120 об/мин. Контроль роста вели с использованием фотоколориметра

В.В. Коробов и др.

КФК-2 (ЗОМЗ, Россия) по изменению оптической плотности клеточной суспензии при длине волны 590 нм.

Определение количества фенола осуществляли стандартным фотометрическим методом [11]. Для анализов отбирали по 5 мл культуральной жидкости, которую освобождали от клеток центрифугированием (3630 g, 30 мин). Далее к пробе последовательно приливали 30 мкл 2%-ного раствора 4-аминоантипирина, 100 мкл 2%-ного раствора аммиака и 100 мкл 2%-ного раствора железосинеродистого калия. Смесь перемешивали после добавления каждого компонента реакции и через 10 мин измеряли коэффициент пропускания на фотоколориметре КФК-2 при длине волны 540 нм. Количество фенола определяли по градуировочному графику, построенному в стандартных условиях определения.

При определении количества фенола в сточных водах использовали методическое руководство по анализу сточных вод нефтеперерабатывающих и нефтехимических заводов [12]. Сразу после отбора пробы сточных вод консервировали 50%-ным едким натром из расчета 5 мл NaOH на 1 л пробы, а затем их помещали в перегонную колбу, добавляли 10%-ный раствор CuSO₄, подкисляли разбавленной серной кислотой и далее отгоняли фенол. В дальнейшем ход определения меняли в зависимости от концентрации фенола в полученном отгоне. При концентрации фенола больше 0,4 мг/л определение проводили так же, как в культуральной жидкости, а при содержании меньше 0,4 мг/л фенол извлекали экстрагирующей смесью хлороформ-изоамиловый спирт. Содержание фенола находили по калибровочной кривой, которую строили по значениям стандартных образцов.

Секвенирование генов, кодирующих 16S рРНК, сравнение последовательностей и филогенетический анализ. Для получения амплификатов и последующего секвенирования ПЦР-фрагментов гена 16S рРНК использовалась универсальная праймерная система: 8f — (AGA GTT TGA TCC TGG CTC AG), 926r — (CCG TCA ATT CCT TTR AGT TT), 1492r — (GGT TAC CCT TGT TAC GAC TT). Температурновременной профиль ПЦР: первый цикл — 3 мин при 95°С; последующие 35 циклов — 0,5 мин при 95°С, 0,5 мин при 57°С, 1,5 мин при 72°С; завершающий цикл — 5 мин при 72°С. Сравнительный анализ амплификатов осуществляли путем электрофореза в 1%-ном агарозном геле при напряженности электрического поля 5 В/см [13].

Секвенирование ДНК проводилось в трех повторах на автоматическом секвенаторе 3730 DNA Analyser (Applied Biosystems, США). Для поиска последовательностей с высоким уровнем идентичности генов 16S рРНК использовалась база данных GenBank [14]. Филогенетическое древо было построено в программе MEGA7 [15] с использованием метода Neighbor-Joining [16]. Эволюционные

расстояния рассчитывались с помощью метода максимального составного правдоподобия (Maximum Composite Likelihood) [17]. Достоверность ветвления определялась с помощью "bootstrap"-анализа 1000 альтернативных деревьев (значимыми признавались величины больше 50) [18].

Результаты и обсуждение

Идентификация штамма R. erythropolis 17S. На момент анализа микробная популяция R. erythropolis 17S была представлена неспорообразующими клетками в виде искривленных коротких палочек (60% от всего числа клеток) и овалами (25%), а также небольшим числом средних и длинных палочек, расположенных одиночно, в парах и в скоплениях неправильной формы. Размеры всех этих форм варьировали в пределах от 0,4—0,8 до 0,6—3,2 мкм.

Наблюдалась положительная окраска клеток по Граму, при этом клетки могли легко обесцвечиваться.

Культура *R. erythropolis* 17S при росте на мясопептонном агаре образовывала колонии бело-кремового цвета. Оптимальный рост культуры наблюдался в аэробных условиях в пределах от +22°C до +37°C при значениях рН 7—8. Штамм метаболизировал D-лактозу, D-мальтозу, использовал минеральный азот, глицин и тиамин, при разложении глюкозы образовывал небольшое количество кислоты. Клетки обладали каталазной и казеиназной активностью, осуществляли гидролиз желатины.

Секвенирование и сравнительный анализ вариабельных участков гена 16S рРНК длиной 539 п.н. позволил выявить 29 близких типовых штаммов родов *Rhodococcus* и *Nocardia*. При этом исследуемый изолят образовывал кластер с типовыми штаммами N11 (X79289) и ATCC 4277 (X81929) вида R. erythropolis. Уровень идентичности между исследуемыми последовательностями составил 99,6% и 98,3%, соответственно. Принимая во внимание то, что, согласно критериям молекулярной систематики, уровень идентичности между штаммами должен составлять не менее 97%, изучаемый штамм был отнесен к R. erythropolis (рис. 1). Последовательность гена 16S pPHK R. erythropolis 17S была депонирована в международной базе данных GenBank под номером КҮ563744.

На основании выявленных морфометрических, физиолого-биохимических, культурально-морфологических признаков, а также сравнительного анализа последовательности гена 16S pPHK штамм 17S был идентифицирован как *Rhodococcus erythropolis* 17S.

Субстратная специфичность штамма Rhodo-coccus erythropolis. В ходе дальнейшей работы был исследован рост периодической культуры R. erythropolis 17S на феноле и 2,4-ДХФ.

Существенное накопление массы клеток при использовании фенола в качестве источника углерода и энергии начиналось с первых суток культивирования (рис. 2). Экспоненциальная фаза роста

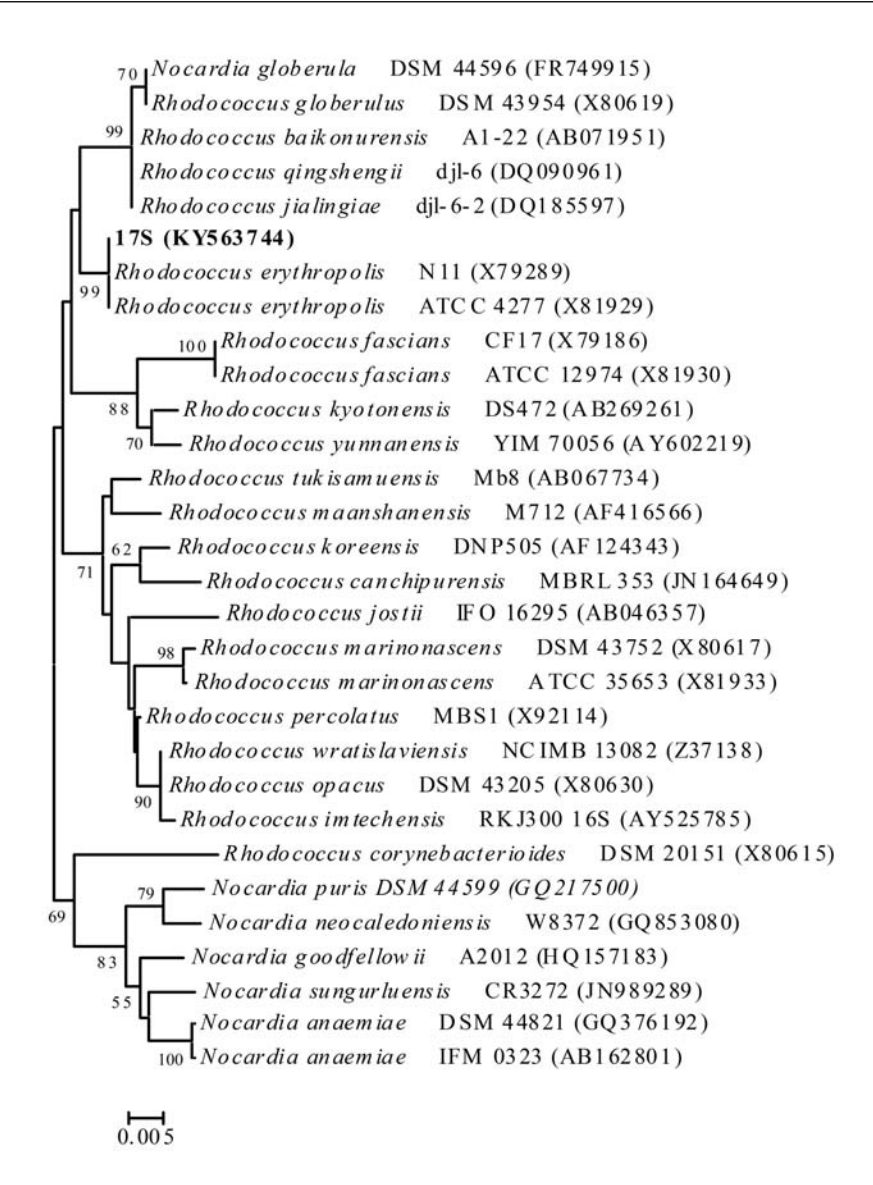


Рис. 1. Филогенетическое древо, построенное методом Neighbor-Joining на основании сравнительного анализа частичной последовательности гена 16S рРНК штамма 17S и близких ему последовательностей типовых штаммов бактерий. Цифрами указана достоверность ветвления, рассчитанная с помощью "bootstrap"-анализа (зна чимыми признаются величины больше 50). Масштаб отражает эволюционное расстояние, соответствующее 5 нуклеотидным заменам на каждые 1000 нуклеотидов. В скобках указаны номера GenBank

длилась около двух суток, и оптическая плотность (О Π_{590}) достигала 0,7 оптических единиц (о.е.), а затем, достигая плохо выраженной стационарной фазы, культура заканчивала свой рост. Содержание фенола в культуральной жидкости снижалось в течение двух суток на 30%, а к четвертым суткам — на 55% от начального уровня.

Анализ динамики показателей роста штамма R. erythropolis 17S при использовании 2,4-ДХФ в качестве субстрата позволил констатировать, что биомасса накапливалась достаточно медленно и только к 14-м сут инкубации показатель $O\Pi_{590}$ достигал 0,12 о.е. При этом концентрация 2,4-ДХФ постепенно снижалась и составляла к 22-м сут 53% от начальной.

Приведенные выше результаты показывают, что *R. erythropolis* 17S способен использовать фе-

нол и 2,4-ДХФ в качестве единственного источника углерода и энергии. Сравнивая графики, можно отметить, что утилизация молекул хлорированного фенола являлась более сложной задачей для R. erythropolis 17S, чем конверсия молекул фенола. Это наблюдение согласуется с ранее полученными данными о том, что атомы хлора делают ароматический субстрат менее доступным для микроорганизмов. В ряде работ была исследована скорость утилизации фенола и 2,4-ДХФ. Так, при культивировании Agromyces sp. IBRB-34DCP на феноле и 2,4-ДХФ при начальной концентрации 100 мг/л содержание фенола снижалось к 3-м сут на 44%, а к 9-м на 74% от исходного значения. Количество 2,4-ДХФ уменьшалось к 3-м сут на 45%, к 9-м — на 73% [2]. При концентрации 2,4-ДХФ 50 мг/л адаптированная культура R. erythropolis через 7 сут полностью **В.В.** Коробов и др.

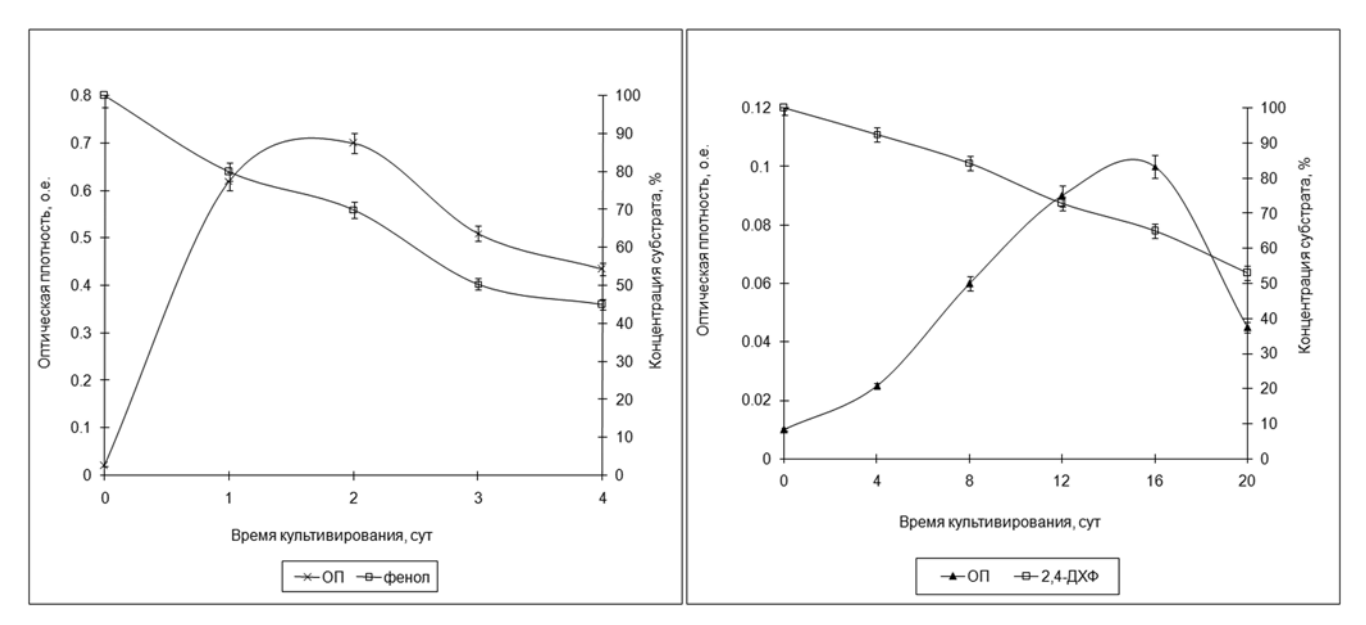


Рис. 2. Графики зависимости значений оптической плотности клеточной суспензии $O\Pi_{590}$, а также концентрации фенола и 2,4-ДХФ, используемых в качестве единственного источника углерода и энергии, от времени инкубации штамма *R. erythropolis* 17S в периодической культуре

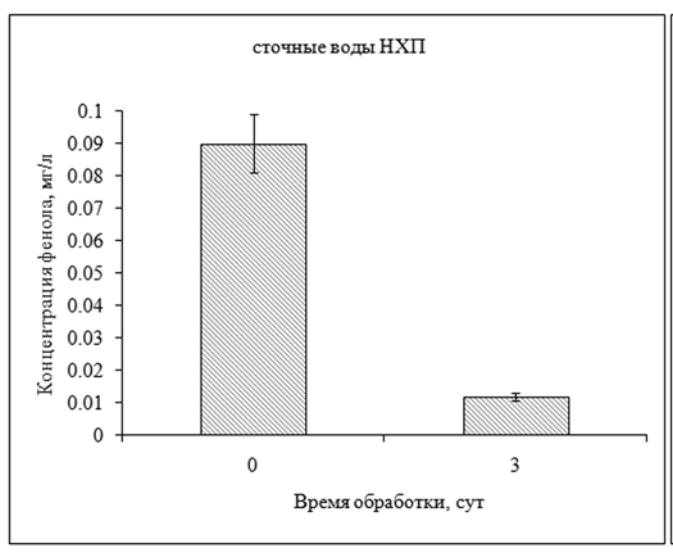
утилизировала данный субстрат [6]. Ранее было проведено исследование биодеградации 2,4-ДХФ в биореакторе культурой *Achromobacter* sp. Результаты показали, что 2,4-ДХФ в концентрации 25 мг/л был полностью утилизирован в течение 5 ч [1]. Как известно, рост концентрации ксенобиотиков оказывает подавляющее влияние на рост бактерий. В связи с этим, способность *R. erythropolis* 17S расти при более высоких концентрациях фенола и 2,4-ДХФ является его конкурентным преимуществом, и может быть использована для очистки сточных вод с более высоким содержанием этих соединений.

Использование штамма R. erythropolis 17S для доочистки от фенола сточных вод предприятий нефтехимического профиля. Известно, что очистку и обезвреживание сточных вод предприятий нефтехимического профиля от фенола проводят обычно в две ступени: на первой происходит освобождение стоков от механических примесей в отстойниках, ловушках и фильтрах различных систем. Далее используются физико-химические методы: экстракция органическими растворителями, адсорбция, очистка с применением фильтров, парорециркуляция. Как показывает практика, после такой обработки в стоках могут присутствовать остаточные количества фенола, удаление которых затруднено типичными для доочистки стоков плохой аэрацией и низким содержанием питательных веществ. С учетом того, что родококки отличаются способностью длительно оставаться жизнеспособными в олиготрофных условиях за счет азотфиксации, запасания и эффективного использования эндогенных фосфорных соединений, проведено исследование возможности доочистки загрязненных фенолом сточных вод двух промышленных предприятий,

занимающихся нефтехимическим производством (НХП) и производством дубильных экстрактов (ПДЭ) культурой R. erythropolis 17S.

Содержание фенола в пробах сточных вод предприятия НХП составляло 0,09 мг/л, а в стоках компании ПДЭ -0,74 мг/л. После 3 сут воздействия бактерий концентрация фенола снижалась до 0,012 и 0,155 мг/л, соответственно (рис. 3). Полученные данные показывают, что культура R. erythropolis 17S проявила активность в реальных условиях загрязненных сточных вод обоих производств. Существенное изменение содержания фенола в сточных водах при использовании R. erythropolis 17S наблюдалось уже после первых суток воздействия. Степень очистки сточных вод, достигаемая при использовании штамма R. erythropolis 17S, составляла для стоков НХП 86,7%, а для стоков ПДЭ -79,1%.

На основании полученных данных можно сделать вывод, что в настоящее время представители рода Rhodococcus, выгодно отличающиеся длительным сохранением жизнеспособности в неблагоприятных условиях, психрофильностью и термотолерантностью, могут рассматриваться в качестве перспективных объектов биотехнологии. В практическом плане для целевой конверсии ксенобиотиков особый интерес представляют адаптированные штаммы родококков из экотопов, подвергавшихся техногенному воздействию. Результаты данной работы свидетельствуют о возможности использования выделенного из техносферы штамма R. erythropolis 17S для направленной деградации фенола. Полученные данные дополняют понимание процессов взаимодействия микроорганизмов с чужеродными соединениями.



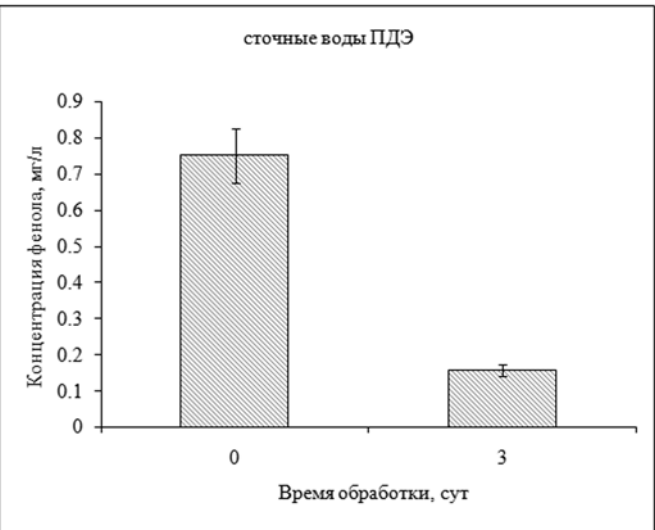


Рис. 3. Диаграмма остаточного содержания фенола на третьи сутки обработки сточных вод НХП и ПДЭ культурой R. erythropolis 17S

СПИСОК ЛИТЕРАТУРЫ

- 1. *Quan X.*, *Shia H.*, *Zhangc Y.*, *Wanga J.*, *Qiana Y*. Biodegradation of 2,4-dichlorophenol and phenol in an airlift inner-loop bioreactor immobilized with *Achromobacter* sp. // Sep. Purif. Technol. 2004. Vol. 34. N 1–3. P. 97–103.
- 2. Коробов В.В., Жарикова Н.В., Анисимова Л.Г., Ясаков Т.Р., Кусова И.В., Журенко Е.Ю., Галкин Е.Г., Маркушева Т.В. Agromyces sp. IBRB-34DCP — новый штаммдеструктор фенола и 2,4-дихлорфенола // Изв. Самар. науч. центра РАН. 2013. Т. 15. № 3—4. С. 1320—1322.
- 3. Kivisaar M.A., Habicht J.K., Heinaru A.L. Degradation of phenol and m-toluate in *Pseudomonas* sp. strain EST1001 and its *Pseudomonas putida* transconjugants is determined by a multiplasmid system // J. Bacteriol. 1989. Vol. 171. N 9. P. 5111–5116.
- 4. *Nurk A., Kasak L., Kivisaar M.* Sequence of the gene (*phe A*) encoding phenol monooxygenase from *Pseudomonas* sp. EST1001: expression in *Escherichia coli* and *Pseudomonas putida* // Gene. 1991. Vol. 102. N 1. P. 13–18.
- 5. Haigler B.E., Pettigrew C.A., Spain J.C. Biodegradation of mixtures of substituted benzenes by *Pseudomonas* sp. strain JS150 // Appl. Envir. Microbiol. 1992. Vol. 58. N 7. P. 2237–2244.
- 6. *Горлатов С.Н., Мальцева О.В., Шевченко В.И., Го- ловлева Л.А.* Разложение хлорфенолов культурой *Rhodo-coccus erythropolis* // Микробиология. 1989. Т. 58. № 5. С. 802—806.
- 7. Korshunova I.O., Kuyukina M.S., Ivshina I.B., Pistsova O.N. The effect of organic solvents on the viability and morphofunctional properties of rhodococcus // Appl. Biochem. Microbiol. 2016. Vol. 52. N 1. P. 43–50.
- 8. Serebrennikova M.K., Kuyukina M.S., Krivoruchko A.V., Ivshina I.B. Adaptation of coimmobilized Rhodococcus cells to oil hydrocarbons in a column bioreactor // Appl. Biochem. Microbiol. 2014. Vol. 50. N 3. P. 265–272.
- 9. Практикум по микробиологии. Уч. пособие для вузов / Под ред. А.И. Нетрусова. М.: Академия, 2005. 608 с.

- 10. Bolshakova A.V., Kiselyova O.I., Yaminsky I.V. Microbial surfaces investigated using atomic force microscopy // Biotechnol. Prog. 2004. Vol. 20. N 6. P. 1615–1622.
- 11. Коробов В.В., Маркушева Т.В., Кусова И.В., Журенко Е.Ю., Галкин Е.Г., Жарикова Н.В., Гафиятова Л.Р. Штамм бактерий Serratia marcescens В-6493 деструктор фенола и 2,4-дихлорфенола // Биотехнология. 2006. \mathbb{N} 2. С. 63—65.
- 12. Методическое руководство по анализу сточных вод нефтеперерабатывающих и нефтехимических заводов. М. 1977. С. 367—387.
- 13. Zharikova N.V., Iasakov T.R., Zhurenko E.I., Korobov V.V., Sagitova A.I., Markusheva T.V., Bumazhkin B.K., Patutina E.O., Kuznetsov B.B. Isolation and sequence analysis of pCS36-4CPA, a small plasmid from *Citrobacter* sp. 36-4CPA // Saudi J. Biol. Sci. 2016. doi: 10.1016/j.sjbs.2016. 02.014.3
- 14. Benson D.A., Karsch-Mizrachi I., Lipman D.J., Ostell J., Wheeler D.L. GenBank // Nucleic Acids Res. 2005. Vol. 33, suppl. 1. P. D34–D38.
- 15. *Kumar S., Stecher G., Tamura K.* MEGA7: Molecular Evolutionary Genetics Analysis version 7.0 for bigger datasets // Mol. Biol. Evol. 2016. Vol. 33. N 7. P. 1870–1874.
- 16. *Saitou N., Nei M.* The neighbor-joining method: A new method for reconstructing phylogenetic trees // Mol. Biol. Evol. 1987. Vol. 4. N 4. P. 406–425.
- 17. *Tamura K., Nei M., Kumar S.* Prospects for inferring very large phylogenies by using the neighbor-joining method // Proc. Natl. Acad. Sci. U.S.A. 2004. Vol. 101. N 30. P. 11030—11035.
- 18. *Felsenstein J*. Confidence limits on phylogenies: An approach using the bootstrap // Evolution. 1985. Vol. 39. N 4. P. 783–791.

Поступила в редакцию $07.07.2017~\mathrm{r}$. Принята к печати $09.09.2017~\mathrm{r}$.

В.В. Коробов и др.

MICROBIOLOGY

THE POSSIBILITY OF USING PHENOL- AND 2,4-DICHLOROPHENOL-DEGRADING STRAIN, *RHODOCOCCUS ERYTHROPOLIS* 17S, FOR CLEANING OF INDUSTRIAL WASTEWATER

V.V. Korobov*, E.I. Zhurenko, N.V. Zharikova, T.R. Iasakov, T.V. Markusheva

Ufa Institute of Biology, Russian Academy of Sciences, prospect Oktyabrya 69, Ufa, 450054, Russia *e-mail: vacikk@mail.ru

Isolation and characterization of a new phenol- and 2,4-dichlorophenol (2,4-DCP)-degrading bacterium from the soil contaminated with phenol and its derivatives for a long time are reported. The strain 17S was identified as *Rhodococcus erythropolis* based on the results of 16S rRNA sequence analysis data and its phenotypic, physiological and biochemical features. The growth of *R. erythropolis* 17S in batch culture using phenol and 2,4-DCP as sources of carbon and energy has been studied. The concentration of phenol and 2,4-DCP in culture medium decreased by 55% (at the 4th day) and 47% (at the 22nd day) from the control values, respectively. It is concluded that *R. erythropolis* 17S can be used for phenol utilization in industrial wastewaters of petrochemical and tanning extracts manufacturing.

Keywords: Rhodococcus erythropolis, degrader strain, phenol, 2,4-dichlorophenol, waste disposal, wastewater

Сведения об авторах

Коробов Владислав Викторович — канд. биол. наук, науч. сотр. лаборатории прикладной микробиологии Уфимского института биологии РАН. Тел.: 8-347-235-62-47; e-mail: vacikk@mail.ru

Журенко Евгения Юрьевна — канд. биол. наук, науч. сотр. лаборатории прикладной микробиологии Уфимского института биологии РАН. Тел.: 8-347-235-62-47; e-mail: zhurenkoe@gmail.ru

Жарикова Наталья Владимировна— канд. биол. наук, науч. сотр. лаборатории прикладной микробиологии Уфимского института биологии РАН. Тел.: 8-347-235-62-47; e-mail: puzzle111@yandex.ru

Ясаков Тимур Рамилевич — канд. биол. наук, ст. науч. сотр. лаборатории прикладной микробиологии Уфимского института биологии РАН. Тел.: 8-347-235-62-47; e-mail: iasakov@anrb.ru

Маркушева Татьяна Вячеславовна — докт. биол. наук, ст. науч. сотр. лаборатории прикладной микробиологии Уфимского института биологии РАН. Тел.: 8-347-235-62-47; e-mail: tvmark@anrb.ru